

# РЕЗОНАНСНЫЙ МЕТОД ИЗМЕРЕНИЯ ПАРАМЕТРОВ СПИНОВОГО ТРАНСПОРТА В СПИН-ВЕНТИЛЬНОЙ СТРУКТУРЕ

*Н. В. Стрелков\*, А. В. Ведяев*

*Московский государственный университет им. М. В. Ломоносова, Физический факультет  
119991, Москва, Россия*

Поступила в редакцию 4 декабря 2022 г.,

после переработки 4 декабря 2022 г.

Принята к публикации 5 декабря 2022 г.

Известные методы измерения параметров спинового транспорта в спин-вентильных структурах основываются на эффекте Ханле — прецессии спинов электронов во внешнем магнитном поле и уменьшении магниторезистивного сигнала. Они позволяют определить время спиновой релаксации в парамагнитном слое и константу относительной поляризации тока. Мы описываем альтернативный метод измерения без приложения внешнего магнитного поля, основанный на резонансном увеличении магнитной восприимчивости парамагнитного слоя в результате парамагнитного резонанса, вызванного неравновесной намагниченностью в результате эффекта спиновой аккумуляции. Предложенный метод позволяет определить абсолютное значение спиновой аккумуляции в парамагнетике, которое может использоваться как параметр для численного решения трехмерных диффузионных уравнений спинового транспорта.

DOI: 10.31857/S0044451023040168

EDN: MLUABT

## 1. ВВЕДЕНИЕ

Спин-вентильные структуры (рис. 1) являются элементарным элементом современных спин-транспортных устройств и состоят из двух ферромагнитных электродов,  $L_1$  и  $L_3$ , разделенных слоем парамагнитного металла  $L_2$ . Устройства, построенные на базе таких структур, могут выполнять функции элементов магнитной памяти [1, 2] и датчиков магнитного поля [3] благодаря эффекту гигантского магнитосопротивления (ГМС) [4]. Задачи оптимизации и управления спиновым транспортом в спин-вентильных структурах произвольной геометрии сводятся к численным расчетам диффузионных уравнений [5] методом конечных элементов [6].

Спин-транспортные параметры для численных расчетов, такие как относительная спиновая поляризация тока  $P$  и спин-диффузионная длина  $l_{sf}$  измеряются методами, в основе которых лежит эффект Ханле [7]. Данный эффект заключается в прецессии спинов электронов во внешнем магнитном поле  $H$  и, как следствие, уменьшении магнитосопро-

тивления  $R$  системы. Измеряя зависимость сопротивления спин-вентильной структуры от  $H$ , можно построить кривую Ханле  $R(H)$ . Спин-транспортные параметры подбираются так, чтобы точнее аппроксимировать построенную кривую с помощью аналитической модели [8]. Этот метод легко реализовать технически, так как в нем применяются только электрические измерения. Однако внешнее магнитное поле отклоняет намагниченности ферромагнит-

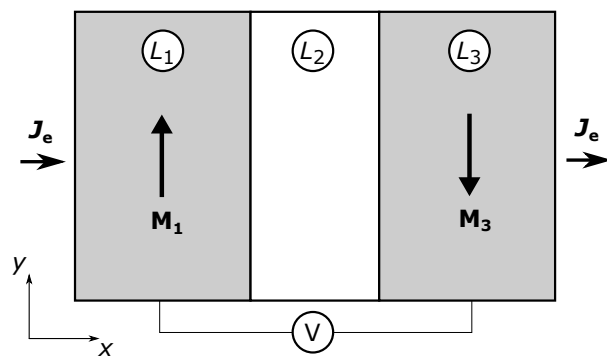


Рис. 1. Модель рассматриваемой спин-вентильной структуры. Слои  $L_1$  и  $L_3$  — ферромагнитные, а  $L_2$  — металлический парамагнитный. Намагниченности  $M_1$  и  $M_3$  зафиксированы в противоположных направлениях, чтобы обеспечить постоянство знака спиновой аккумуляции вдоль слоя  $L_2$ . Ток  $J_e$  протекает вдоль оси  $x$ . Напряжение  $V$  измеряется на электродах  $L_1$  и  $L_3$

\* E-mail: nik@magn.phys.msu.ru

ных электродов, что приводит к неточностям при аппроксимации аналитической функцией.

В данной работе мы описываем альтернативный метод измерения спин-транспортных параметров, основанный на эффекте парамагнитного резонанса в слое  $L_2$ , вызванного неравновесной намагниченностью в результате эффекта спиновой аккумуляции. Измерение восприимчивости необходимо проводить с помощью высокочастотных методов, например, с использованием векторного анализатора цепей (ВАЦ) [9].

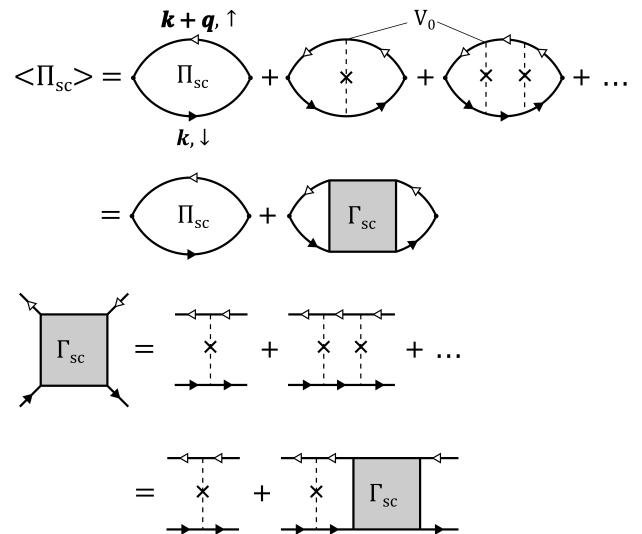
Для возбуждения неравновесной намагниченности в парамагнитном слое  $L_2$  через спин-вентильную структуру пропускается электрический ток  $\mathbf{J}_e$ . Намагниченность ферромагнитных электродов зафиксирована в противоположных направлениях, чтобы знак спиновой аккумуляции оставался постоянным. Если длина спиновой диффузии  $l_{sf}$  в слое  $L_2$  больше, чем длина этого слоя, то спиновая аккумуляция в нем может рассматриваться как однородная. Неравновесное обменное расщепление, возникающее из-за этого в слое  $L_2$ , будет создавать условия для парамагнитного резонанса. Наличие резонанса, в свою очередь, приведет к увеличению магнитной восприимчивости.

В следующих разделах мы вычислим парамагнитную восприимчивость с учетом примесей и наличия неравновесного обменного расщепления. Далее, мы численно рассчитаем величину спиновой аккумуляции и связанную с ней величину обменного расщепления в парамагнитном слое предложенной спин-вентильной структуры. Для полученного значения мы построим резонансные кривые парамагнитной восприимчивости, которые определяются спин-транспортными параметрами системы.

## 2. ВОСПРИИМЧИВОСТЬ

В электронном газе различают две компоненты магнитной восприимчивости: продольную  $\chi_\perp$  и поперечную  $\chi_\parallel$ . Инвариантность по отношению к врашению устанавливает связь между ними:  $\chi_\parallel = 2\chi_\perp$ , поэтому мы рассмотрим только поперечную компоненту.

Восприимчивость  $\chi_\perp$  невзаимодействующего электронного газа с учетом рассеяния на примесях с малой концентрацией была рассмотрена ранее в равновесном случае [10, 11]. Мы расширили эту теорию и учли вклад от неравновесной намагниченности, вызванный эффектом спиновой аккумуляции. Гамильтониан системы в этом случае будет записываться как  $\mathcal{H} = \mathcal{H}_0 + V(\mathbf{r})$ ,



**Рис. 2.** Поляризационный пропагатор  $\Pi_{sc}$ , усредненный по примесям и определяющий восприимчивость электронного газа с рассеянием на случайном потенциале примесей  $V_0$ . Вершинная часть  $\Gamma_{sc}$  — диффузионный полюс («диффузон»), рассчитанный из уравнения Бете–Солпитера в лестничном приближении

где  $\mathcal{H}_0 = \varepsilon_\sigma(\mathbf{k})a_{\mathbf{k}\sigma}^\dagger a_{\mathbf{k}\sigma}$  — гамильтониан свободных электронов,  $a_{\mathbf{k}\sigma}^\dagger$  и  $a_{\mathbf{k}\sigma}$  — операторы рождения и уничтожения электрона со спином  $\sigma$  и волновым вектором  $\mathbf{k}$ ,  $V(\mathbf{r})$  — случайный потенциал примесей. Энергию электронов можно выразить как  $\varepsilon_\sigma(\mathbf{k}) = \varepsilon_k - \mu^\sigma$ , где  $\mu^\sigma$  — неравновесный спин-зависимый химический потенциал [12].

Для расчета восприимчивости необходимо вычислить вершинную часть  $\Gamma_{sc}$  (или «диффузон»). Величина  $\Gamma_{sc}$  может быть получена из уравнения Бете–Солпитера, которое упрощается в лестничном приближении суммированием диаграмм на рис. 2 с использованием примесной диаграммной техники [13]. Его можно записать в виде [11]

$$\Gamma_{sc}(\mathbf{q}, \omega) = \frac{nV_0^2}{\hbar - nV_0^2\Pi_{sc}(\mathbf{q}, \omega)} = \frac{nV_0^2\hbar^{-1}}{-i(\omega - \Delta\mu/\hbar)\tau + D_0\mathbf{q}^2\tau + \tau/\tau_{sf}}, \quad (1)$$

где  $\mathbf{q}$  и  $\omega$  — волновой вектор и частота внешней электромагнитной волны соответственно,  $nV_0^2 = n(\int V(r) dr)^2$ ,  $n$  — концентрация примесей,  $V(r)$  — потенциал одной примеси,  $\tau$  — время релаксации упругого рассеяния,  $\Delta\mu = \mu^\uparrow - \mu^\downarrow$  — неравновесное расщепление по спину,  $\tau_{sf}^{-1} = (4/3)(\tau_s^{-1} + \tau_{so}^{-1})$  — время релаксации с переворотом спина,  $\tau_s$  и  $\tau_{so}$  — спин-спиновая и спин-орбитальная части соответственно,  $D_0 = v_F^2\tau/3$  — константа диффузии Друде и  $v_F$  — скорость

электронов на уровне Ферми. Невозмущенный поляризационный пропагатор  $\Pi_{sc}$  может быть вычислен как интеграл в трехмерном пространстве, учитывая золотое правило Ферми  $\tau^{-1} = \pi N_F n V_0^2$ :

$$\begin{aligned}\Pi_{sc}(\mathbf{q}, \omega) &= \sum_{\mathbf{k}} G_{\uparrow}^R(\mathbf{k} + \mathbf{q}, \varepsilon + \hbar\omega) G_{\downarrow}^A(\mathbf{q}, \varepsilon) = \\ &= \int \frac{d^3 k}{(2\pi)^3} G_{\uparrow}^R(\mathbf{k} + \mathbf{q}, \varepsilon + \hbar\omega) G_{\downarrow}^A(\mathbf{q}, \varepsilon) \approx \\ &\approx \frac{\hbar}{n V_0^2} \left( 1 + i \left( \omega - \frac{\Delta\mu}{\hbar} \right) \tau - D_0 \tau \mathbf{q}^2 - \frac{\tau}{\tau_{sf}} \right). \quad (2)\end{aligned}$$

В результате можно записать поперечную восприимчивость  $\chi_{\perp}^{sc}$  в виде

$$\chi_{\perp}^{sc}(\mathbf{q}, \omega) = N_F + \frac{1}{i\pi} \int [n(\varepsilon + \hbar\omega) - n(\varepsilon)] \langle \Pi_{sc} \rangle d\varepsilon, \quad (3)$$

где  $N_F$  — плотность состояний электронов на уровне Ферми на один атом,  $n(\varepsilon + \hbar\omega) - n(\varepsilon) = -\hbar\omega\delta(\varepsilon - E_F)$ , а  $\langle \Pi_{sc} \rangle$  — поляризационный пропагатор (см. рис. 2), усредненный по примесям в лестничном приближении. С учетом того, что  $\omega\tau \ll 1$ ,  $\tau_{sf}^{-1} \ll \tau^{-1}$  и  $|\mathbf{q}|l \ll 1$ , он принимает следующую форму:

$$\begin{aligned}\langle \Pi_{sc}(\mathbf{q}, \omega) \rangle &= \langle G_{\uparrow}^R(\mathbf{k} + \mathbf{q}, \varepsilon + \hbar\omega) G_{\downarrow}^A(\mathbf{q}, \varepsilon) \rangle = \\ &= \Pi_{sc}(\mathbf{q}, \omega) + \Pi_{sc}^2(\mathbf{q}, \omega) \Gamma_{sc}(\mathbf{q}, \omega) = \\ &= \frac{N_F \pi}{-i(\omega - \Delta\mu/\hbar) + D_0 \mathbf{q}^2 + \tau_{sf}^{-1}}. \quad (4)\end{aligned}$$

Подставляя (4) в (3), получим окончательное выражение для поперечной восприимчивости, учитывая, что  $\hbar\omega \ll E_F$  и  $|\mathbf{q}| \ll k_F$  [14]:

$$\chi_{\perp}^{sc}(\mathbf{q}, \omega) = -N_F \frac{\Delta\mu/\hbar - i(D_0 \mathbf{q}^2 + \tau_{sf}^{-1})}{(\omega - \Delta\mu/\hbar) + i(D_0 \mathbf{q}^2 + \tau_{sf}^{-1})}. \quad (5)$$

Как можно увидеть из выражения (5) для восприимчивости, она имеет резонансный вид из-за наведенного обменного расщепления  $\Delta\mu$ , вызванного эффектом спиновой аккумуляции. В отсутствие примесей ( $\tau_{sf}^{-1} + D_0 \mathbf{q}^2 = 0$ ) восприимчивость (5) принимает вид лоренциана с резонансной частотой  $\omega_R = \Delta\mu/\hbar$ . В статическом случае, при  $\omega = 0$ , восприимчивость равна восприимчивости невзаимодействующего газа свободных электронов,  $\chi_{\perp}^{sc}(0, 0) = N_F$ .

Можно легко показать, что резонансная частота мнимой части восприимчивости (5), которая ответственна за поглощение, имеет вид

$$\omega_R = \sqrt{(\Delta\mu/\hbar)^2 + (\tau_{sf}^{-1} + D_0 \mathbf{q}^2)^2}. \quad (6)$$

Действительная часть выражения (5) при частоте резонанса (6) постоянна и равна половине восприимчивости невзаимодействующего газа свободных электронов,  $\max(\text{Re } \chi_{\perp}^{sc}) = N_F/2$ , тогда как мнимая часть имеет более сложный вид:

$$\begin{aligned}\max(\text{Im } \chi_{\perp}^{sc}) &= \frac{N_F}{2} \frac{\Delta\mu/\hbar}{\tau_{sf}^{-1} + D_0 \mathbf{q}^2} \times \\ &\times \left( 1 + \sqrt{1 + \left( \frac{\tau_{sf}^{-1} + D_0 \mathbf{q}^2}{\Delta\mu/\hbar} \right)^2} \right). \quad (7)\end{aligned}$$

Для оценки энергии обменного расщепления  $\Delta\mu$ , вызванной эффектом спиновой аккумуляции в paramagnитном слое  $L_2$  необходимо решить диффузные спин-зависимые транспортные уравнения в спин-вентильной структуре, как это сделано в следующем разделе.

### 3. СПИНОВАЯ АККУМУЛЯЦИЯ

Теория спинового транспорта в геометрии, когда ток перпендикулярен интерфейсу между слоями, была предложена в работе Вале и Ферта [5]. Уравнения диффузии в спин-вентильной структуре в случае коллинеарной ориентации намагниченности в ферромагнитных слоях записываются в виде

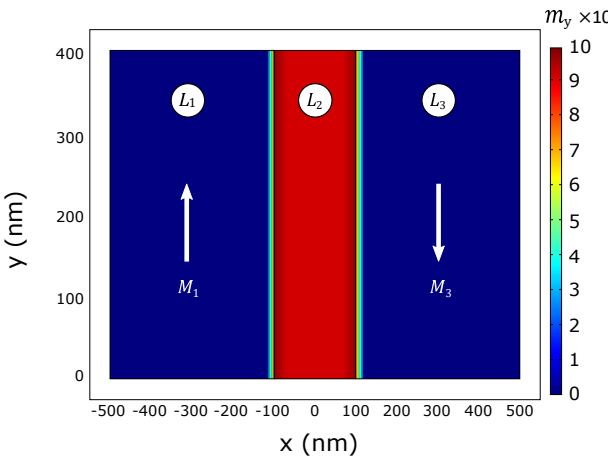
$$\begin{aligned}\sum_i \frac{\partial}{\partial \xi_i} j_e^i &= 0, \\ \sum_i \frac{\partial}{\partial \xi_i} j_m^{ij} &= -\frac{m_j}{a_0^3 \tau_{sf}},\end{aligned} \quad (8)$$

где  $m_j$  —  $j$ -я компонента вектора спиновой аккумуляции на один атом,  $\xi_i = x, y$ . Вектор зарядового тока  $\mathbf{J}_e$  с компонентами  $j_e^i$  и тензор спинового тока  $j_m^{ij}$  выражаются следующим образом:

$$\begin{aligned}j_e^i &= -\sigma \frac{\partial}{\partial \xi_i} \varphi - \frac{\beta\sigma}{|e_c| N_F} \sum_j M_j \frac{\partial}{\partial \xi_i} m_j, \\ j_m^{ij} &= -\frac{\sigma\beta}{|e_c|} M_j \frac{\partial}{\partial \xi_i} \varphi - \frac{\sigma}{e_c^2 N_F} \frac{\partial}{\partial \xi_i} m_j,\end{aligned} \quad (9)$$

где  $\varphi$  — электрический потенциал,  $\sigma$  — проводимость, которая связана с константой диффузии через соотношение Эйнштейна:  $\sigma = e_c^2 N_F D_0 / a_0^3$  [15],  $M_j$  —  $j$ -я компонента единичного вектора вдоль намагниченности ферромагнитного слоя,  $a_0$  — параметр решетки,  $\beta$  — параметр спиновой асимметрии проводимости и  $e_c$  — заряд электрона.

Система диффузных уравнений (8) с выражениями для токов (9) описывает спин-зависимый транспорт в спин-вентильной структуре. Эта система уравнений может быть решена численно с использо-

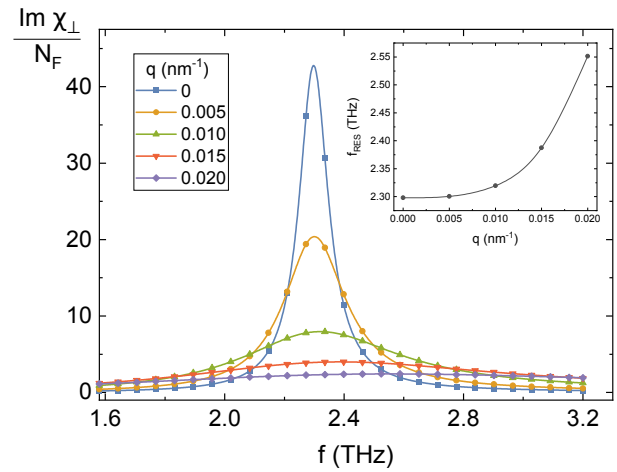


**Рис. 3.** (В цвете онлайн) Численный расчет спино-вентильной структуры. Цветом обозначена величина  $x$ -компоненты спиновой аккумуляции. Напряжение 0.83 В, приложенное между электродами  $L_1$  и  $L_3$ , создает зарядовую плотность тока  $10^8 \text{ A/cm}^2$ . Проводимость парамагнитных и ферромагнитных слоев  $\sigma_{2,4} = 10^{-2} (\text{Ом} \cdot \text{нм})^{-1}$  и  $\sigma_{1,3,5} = 10^{-3} (\text{Ом} \cdot \text{нм})^{-1}$  соответственно. Время релаксации с переворотом спина  $\tau_{sf2,4} = 2.4 \cdot 10^{-12} \text{ с}$  (соответствует диффузионной длине  $l_{sf} = 200 \text{ нм}$ ) и  $\tau_{sf1,3,5} = 6 \cdot 10^{-14} \text{ с}$  ( $l_{sf} = 10 \text{ нм}$ ), спиновая асимметрия проводимости  $\beta_{1,3,5} = 0.7$  и  $N_F = 0.1 \text{ эВ}^{-1}$

ванием метода конечных элементов для любой геометрии, например так, как это показано в работе [6].

Численные вычисления  $x$ -компоненты вектора спиновой аккумуляции представлены на рис. 3. Ее значение в парамагнитном слое  $L_2$  практически постоянно и равно в среднем  $9.5 \cdot 10^{-4}$ . При этом плотность тока через спин-вентильную структуру составляет  $10^8 \text{ A/cm}^2$ . Диффузионная длина  $l_{sf}$  связана со временем релаксации электрона с переворотом спина,  $\tau_{sf}$ , в уравнении (8) и определяется выражением  $l_{sf} = \sqrt{D_0 \tau_{sf}}$ . Используя соотношение Эйнштейна и полагая параметр решетки равным  $a_0 = 0.3 \text{ нм}$ , легко показать, что  $l_{sf}$  для пары ферромагнитного слоя равны 200 нм и 10 нм соответственно. Можно теперь оценить величину обменного расщепления  $\Delta\mu = m_x/N_F$  в парамагнитном слое  $L_2$  и рассчитать частотную зависимость поперечной восприимчивости. Заметим, что относительная поляризация тока выражается через  $\Delta\mu$  как  $P = \Delta\mu/E_F$ .

На рис. 4 показана зависимость поперечной восприимчивости  $\chi_{\perp}^{sc}$  (5) в парамагнитном слое  $L_2$  с параметрами спин-вентильной структуры, перечисленными в подписи к рис. 3, как функция частоты  $f = \omega/2\pi$  и волнового вектора  $\mathbf{q}$  падающей волны. На вставке изображена зависимость резонансной частоты (6) от волнового вектора  $\mathbf{q}$ . Значение мнимой части поперечной восприимчивости опре-



**Рис. 4.** Мнимая часть поперечной восприимчивости  $\chi_{\perp}^{sc}$  (5), деленная на  $N_F$ , в парамагнитном слое  $L_2$  как функция частоты  $f = \omega/2\pi$  падающей волны для различных значений волнового вектора  $\mathbf{q}$ . На вставке показана зависимость резонансной частоты (6) от волнового вектора  $\mathbf{q}$ . Параметры расчета:  $N_F = 0.1 \text{ эВ}^{-1}$ ,  $v_F = 10^8 \text{ см}/\text{с}$ ,  $\tau = 5.5 \cdot 10^{-14} \text{ с}$  (соответствует  $\sigma = 10^{-2} (\text{Ом} \cdot \text{нм})^{-1}$ ),  $\tau_{sf} = 2.4 \cdot 10^{-12} \text{ с}$  (соответствует  $l_{sf} = 200 \text{ нм}$ ),  $a_0 = 0.3 \text{ нм}$ ,  $m_x = 9.5 \cdot 10^{-4}$  (соответствует  $\Delta\mu = 9.5 \cdot 10^{-3} \text{ эВ}$ )

деляется выражением (7). Уменьшение величины плотности тока в спин-вентильной структуре приведет к уменьшению величины спиновой аккумуляции, а следовательно, и падению резонансной частоты.

Аппроксимируя экспериментальную кривую мнимой части магнитной восприимчивости функцией Лоренца, можно найти величину  $\Delta\mu$ , которая будет определяться положением резонанса, и величину  $\tau_{sf}$ , которая будет определяться шириной резонансной кривой. Здесь мы учли, что волновой вектор  $\mathbf{q}$  электромагнитной волны мал, порядка  $\omega/c$ , где  $c$  — скорость света, а частота спиновой релаксации пренебрежимо мала по сравнению с частотой резонанса,  $\tau_{sf}^{-1} \ll \Delta\mu/\hbar$ .

#### 4. ВЫВОДЫ

В заключение сформулируем основные результаты работы. Нами была рассчитана поперечная магнитная восприимчивость парамагнитного слоя спин-вентильной структуры с учетом упругого и спин-зависящего рассеяния под действием эффекта неравновесной спиновой аккумуляции. Было показано, что парамагнитная восприимчивость имеет резонансный характер, который зависит от величины спиновой аккумуляции, создаваемой током, протекающим через спин-вентильную структуру. Аппроксимируя экспериментальную частотную зависимость мнимой части восприимчивости

полученными аналитическими зависимостями, можно вычислить такие параметры спинового транспорта, как спин-диффузная длина  $l_{sf}$ , величина спиновой аккумуляции  $\Delta\mu$  и соответствующие им величины: время спиновой релаксации  $\tau_{sf}$  и относительная спиновая поляризация тока  $P$ . Даный метод позволит избежать отклонения намагниченности ферромагнитных электродов, так как не подразумевает использования внешнего магнитного поля в отличие от метода, основанного на эффекте Ханле.

Ограничением данного экспериментального метода является требование к толщине парамагнитного слоя, которая должна быть заведомо меньше, чем спин-диффузионная длина  $l_{sf}$  для обеспечения однородности спиновой аккумуляции вдоль парамагнетика. Плотность тока, протекающего через спин-вентильную структуру, должна быть как можно больше, чтобы резонанс магнитной восприимчивости хорошо выделялся на уровне термоэлектрических флуктуаций.

## ЛИТЕРАТУРА

1. S. S. P. Parkin, K. P. Roche, M. G. Samant et al., J. Appl. Phys. **85**, 5828 (1999).
2. S. Tehrani, J. M. Slaughter, M. Deherrera et al., Proc. IEEE **91**, 703 (2003).
3. B. Dieny, V. S. Speriosu, S. S. P. Parkin et al., Phys. Rev. B **43**, 1297 (1991).
4. M. Baibich, J. M. Broto, A. Fert et al., Phys. Rev. Lett. **61**, 2472 (1988).
5. T. Valet and A. Fert, Phys. Rev. B **48**, 7099 (1993).
6. N. Strelkov, A. Vedyayev, N. Ryzhanova et al., Phys. Rev. B **84**, 024416 (2011).
7. M. Johnson and R. H. Silsbee, Phys. Rev. Lett. **55**, 1790 (1985).
8. F. J. Jedema, H. B. Heersche, A. T. Filip et al., Nature **416**, 713 (2002).
9. S. Noh, D. Monma, K. Miyake et al., IEEE Trans. Magn. **47**, 2387 (2011).
10. B. L. Altshuler, A. G. Aronov, D. E. Khmelnitskii, and A. I. Larkin, in *Quantum Theory of Solids*, ed. by I. M. Lifshits, Mir Publ., Moscow (1982), p. 130.
11. B. L. Altshuler and A. G. Aronov, in *Electron-Electron Interactions in Disordered Systems*, ed. by A. L. Efros and M. B. Pollak, Elsevier, Amsterdam (1985), pp. 1-153.
12. P. C. van Son, H. van Kempen, and P. Wyder, Phys. Rev. Lett. **58**, 2271 (1987).
13. А. А. Абрикосов, Л. П. Горьков, И. Е. Дзялошинский, *Методы квантовой теории поля в статистической физике*, Физматлит, Москва (1962) [A. A. Abrikosov, L. P. Gorkov, and I. E. Dzyaloshinski, *Methods of Quantum Field Theory in Statistical Physics*, ed. by R. Silverman, Dover publ., New York (1963)].
14. D. Pines and P. Nozières, *The Theory of Quantum Liquids*, Vol. 1, CRC Press, Boca Raton (2018).
15. S. Zhang, P. M. Levy, and A. Fert, Phys. Rev. Lett. **88**, 236601 (2002).